

猪牙皂多糖提取工艺及体外抗氧化活性的研究*

赵声兰¹, 陈进伟¹, 刘芳², 罗立梅¹, 李时琪¹, 余仕继¹

(1. 云南中医学院, 云南昆明 650500; 2. 昆明理工大学, 云南昆明 650224)

[摘要] 目的: 研究猪牙皂多糖的提取工艺条件及其抗氧化活性。方法: 在对时间、温度、料液比进行单因素试验的基础上, 采用正交试验优化猪牙皂多糖的提取工艺条件。抗氧化活性的研究采用邻苯三酚自氧化法。结果: 料液比(A)、提取温度(B)、提取时间(C)对猪牙皂多糖提取影响的顺序为A>B>C。适宜的提取工艺条件为料液比1:25、温度90℃、时间60min。0.9μg/mL的猪牙皂多糖溶液可消除50%的超氧自由基(即CC₅₀=0.9μg/mL), 对羟自由基(·OH)清除的CC₅₀=1.74mg/mL。结论: 猪牙皂多糖具有较强的清除超氧自由基和羟自由基的作用。

[关键词] 猪牙皂; 粗多糖; 提取工艺; 抗氧化

中图分类号: R284.2 文献标志码: A 文章编号: 1000—2723(2010)04—0015—04

猪牙皂(*Fructus Gleditsiae abnormalis*)系豆科苏木亚科皂荚属(*Gleditsia Linn.*)植物皂荚(*Gleditsia sinensis Lam.*)的干燥不育果实, 2005版《中国药典》收载为常用中药之一。性辛、咸、温, 归肺、大肠经, 具有祛痰开窍、消肿散结、抗炎、抗过敏、抗肿瘤、抗病毒和改善心肌缺血等作用, 用于中风口噤、昏迷不醒、癫痫痰盛、关窍不通、喉痹痰阻、顽痰喘咳、咯痰不爽、大便燥结、外治痈肿^[1]。本文对猪牙皂多糖的提取工艺及抗氧化活性进行研究, 为猪牙皂的综合利用奠定基础。

1 材料及方法

1.1 原料

猪牙皂购于昆明中药材市场, 经去籽、粉碎、95%乙醇抽提3次, 干燥备用。

1.2 方法

粗多糖提取采用水提醇沉法^[2], 脱蛋白采用Sevage法^[3], 多糖含量的测定采用苯酚-硫酸法^[4], 总蛋白质含量的测定采用凯氏定氮法^[5], 抗氧化活性的测定采用邻苯三酚自氧化法^[6]测定猪牙皂多糖对超氧自由基的清除活性。

2 结果与讨论

2.1 单因素试验

2.1.1 提取时间对猪牙皂多糖提取量的影响

精确称取猪牙皂5.00 g于圆底烧瓶中, 在料液比1:15, 温度100℃条件下考察提取时间对粗多糖提取量的影响, 结果见图1。

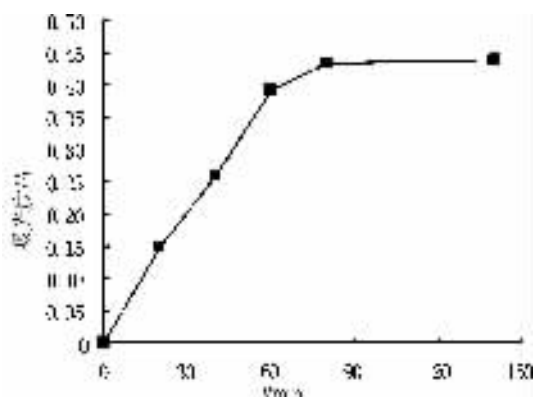


图1 提取时间对猪牙皂多糖提取量的影响

由图1可知, 在料液比为1:15, 温度100℃条件下, 粗多糖提取量随提取时间的增加而增加, 但提取时间超过80min后, 粗多糖提取量基本不变。

2.1.2 料液比对猪牙皂多糖提取量的影响

精确称取猪牙皂5.00g于圆底烧瓶中, 在提取时间80min, 温度100℃条件下考察不同的料液比对猪牙皂多糖提取量的影响, 结果见图2。

*基金项目: 国家自然基金项目(30760304)和云南省科学基金项目(2006C0046M)

收稿日期: 2010—06—27 修回日期: 2010—07—14

作者简介: 赵声兰(1962~), 女, 云南人, 教授, 主要研究方向: 生物资源开发与利用。

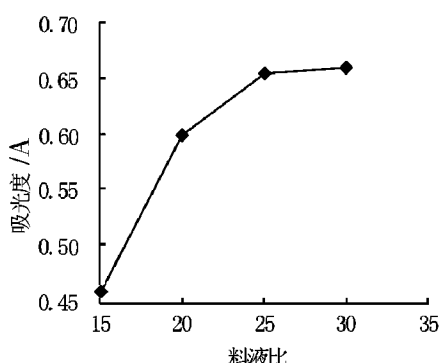


图 2 料液比对猪牙皂多糖提取量的影响

由图 2 可知：在温度 100℃ 加热提取 80min 的条件下，多糖提取量随料液比的增加而增加，但料液比大于 1:25 后，多糖提取量的增加很小。

2.1.3 提取温度对猪牙皂多糖提取量的影响

精确称取猪牙皂粗粉 5.00 g 于圆底烧瓶中，在料液比 1:30，加热提取 80min 的条件下，考察不同的提取温度对猪牙皂多糖提取量的影响。结果见图 3。

由图 3 可知：温度小于 90℃ 时，多糖提取量随温度的增加而增加，但温度大于 90℃ 后，温度增加，多糖提取量下降，90℃ 时多糖提取量最高。

2.2 正交试验

在上述单因素试验的基础上，采用 $L_9(3^4)$ 三因素三水平正交试验^[7]和平行重复试验的方法，优化猪牙皂多糖的提取工艺条件，试验的因素水平见表 1，正交试验结果见表 2，方差分析见表 3。

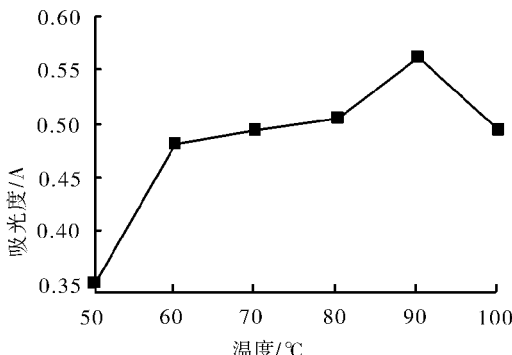


图 3 提取温度对猪牙皂多糖提取量的影响

表 1 因素水平表

水平	料液比 /mL	加热提取温度 /℃	加热提取时间 /min
1	$A_1 = 1:15$	$B_1 = 50$	$C_1 = 40$
2	$A_2 = 1:20$	$B_2 = 70$	$C_2 = 60$
3	$A_3 = 1:25$	$B_3 = 90$	$C_3 = 80$

表 2 实验数据分析表

实验号	A	B	C	D	y_{ij}			$\sum y_{ij}$
					1	2	3	
1	1	1	1	1	0.315	0.312	0.312	0.939
2	1	2	2	2	0.445	0.437	0.433	1.315
3	1	3	3	3	0.372	0.367	0.365	1.104
4	2	1	2	3	0.459	0.451	0.451	1.361
5	2	2	3	1	0.509	0.505	0.503	1.517
6	2	3	1	2	0.500	0.497	0.497	1.494
7	3	1	3	2	0.363	0.360	0.360	1.083
8	3	2	1	3	0.602	0.589	0.589	1.786
9	3	3	2	1	0.692	0.690	0.688	2.070
I	3.358	3.383	4.219	4.526				
II	4.372	4.618	4.746	3.892				T = 12.669
III	4.939	4.668	3.704	4.251				
R	1.581	1.285	1.042	0.275				

表3 方差分析

方差来源	平方和	自由度	均方和	F值	$F_{0.05}(2, 20)$	$F_{0.01}(2, 20) = 5.85$	显著性
A	0.142 6	2	0.071 3	54.846 1	3.49	5.85	* *
B	0.117 7	2	0.058 9	45.307 7	3.49	5.85	* *
C	0.060 33	2	0.030 16	23.200 0	3.49	5.85	* *
e	0.025 8	20	0.001 3				

极差 R 值反映了各因素对指标影响的大小, 表2 试验结果表明, 极差 $R_A > R_B > R_C$, 说明料液比对猪牙皂多糖提取量的影响最大, 其次是提取温度和提取时间, 适宜的提取工艺条件为 $A_3B_3C_2$, 即料液比为 1:25、温度为 90℃、时间为 60min。方差分析表明料液比、提取温度、提取时间对猪牙皂多糖提取量均具有显著性影响。

2.3 猪牙皂多糖清除超氧自由基的测定

称取猪牙皂原料 200 g, 按上述适宜的提取工艺条件进行加热回流提取, 过滤, 提取液用旋转蒸发器浓缩至一定体积, 加入 3 倍体积的 95% 乙醇, 密封, 静置过夜, 离心后得多糖沉淀。多糖沉淀复溶, 经 Sevage 法^[3]脱蛋白 3 次, 冷冻干燥得猪牙皂多糖。采用凯氏定氮法^[5]测得该猪牙皂多糖含蛋白质 0.987 2%。

以维生素 C 为阳性对照, 采用邻苯三酚自氧化法^[6], 测定猪牙皂多糖对超氧自由基的清除率。邻苯三酚在碱性条件下迅速自氧化, 释放出超氧阴离子自由基 ($O_2^- \cdot$) 与中间物, 中间物与超氧阴离子自由基 ($O_2^- \cdot$) 反应形成在 325nm 波长下有特征吸收的中间产物, 引起 325nm 波长处吸光值的积累。邻苯三酚的氧化速率依赖于自氧化产生的 O_2^- 浓度, 当有抑制剂存在时, 可清除超氧阴离子, 阻止中间产物的积累, 325nm 波长处吸光值的增量减少, 根据吸光度数值的变化可求出待测样品的抗氧化活性。

在 10mL 具塞试管中依次加入 1.5mL 15mmol/L pH 值 8.2 的 Tris - HCl 缓冲液, 1.5mL 蒸馏水, 25℃ 恒温 20min 后, 立即加入 25℃ 预热的 3mmol/L 邻苯三酚溶液 0.5mL, 迅速混匀, 在 325nm 处每隔 30s 测定 1 次溶液的吸光度, 计算线性范围内每分钟吸光度的增值, 即邻苯三酚的自氧化速率 $\Delta A_{\text{对照}}$ 。

测定待测样品的抗氧化活性时, 加入邻苯三酚前, 先加入一定量的待测样品溶液, 同时减少同体积的蒸馏水, 其余操作同上, 得 $\Delta A_{\text{样品}}$ 。结果见图

4 和图 5。

$$\text{清除率} = \frac{\Delta A_{\text{对照}} - \Delta A_{\text{样品}}}{\Delta A_{\text{对照}}} \times 100\%$$

式中: $\Delta A_{\text{对照}}$: 一分钟内对照管吸光度的变化值。

$\Delta A_{\text{样品}}$: 一分钟内样品管吸光度的变化值。

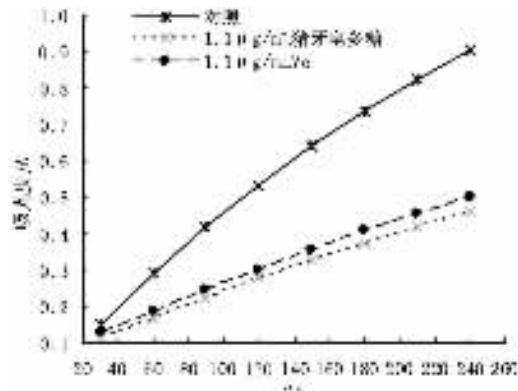


图4 猪牙皂多糖抗超氧自由基的活性

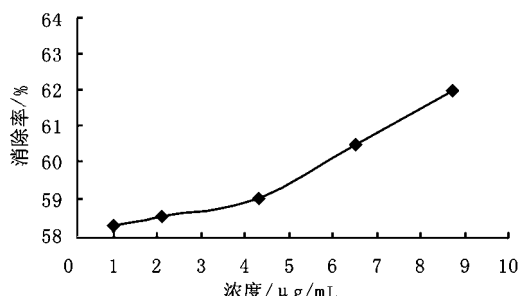


图5 猪牙皂多糖对超氧自由基的清除率

由图 4 和图 5 可知, 猪牙皂多糖对超氧自由基具有较强的抗超氧自由基活性, 清除 50% 超氧自由基时的多糖浓度 CC_{50} 为 0.9 $\mu\text{g/mL}$ 。

2.4 猪牙皂多糖体外清除羟自由基 ($\cdot \text{OH}$) 的测定^[8-10]

采用 $\text{H}_2\text{O}_2/\text{Fe}$ 体系法。Fenton 反应产生羟自由基 ($\cdot \text{OH}$) 体系中, 邻二氮菲与 Fe^{2+} 反应生成 Fe^{2+} -邻二氮菲配合物, 该配合物在 536nm 有最大吸收。当 $\cdot \text{OH}$ 氧化 Fe^{2+} -邻二氮菲成 Fe^{3+} -邻二氮菲时, 使 $A_{536\text{nm}}$ 减小。若反应体系中存在 $\cdot \text{OH}$ 清除剂, 氧化过程受到抑制, $A_{536\text{nm}}$ 减小不明显, 通过 $A_{536\text{nm}}$ 值比较, 可测定待测样品清除 $\cdot \text{OH}$ 的

活性。

取 7 支试管，分别加入浓度为 7.5 mmol/L 的 FeSO₄ 1 mL，取其中 2 支试管分别作为损伤管和未损伤管，另外 5 支试管中分别加入 3 mg/mL 的多糖溶液 1.0, 1.2, 1.4, 1.6, 1.8 mL 和 0.01% H₂O₂ 1.0 mL，损伤管和未损伤管不加糖液，未损伤管不加 H₂O₂，用蒸馏水补足体积，37℃ 保温 1 h，测定 536 nm 处的吸光值，平行测定 3 次。配置相同浓度的 Vc 作为对照。

$$\cdot \text{OH} \text{ 的清除率} = 1 - \frac{A_2 - A_1}{A_0 - A_1} \times 100\%$$

式中：A₀—损伤管的吸光度；A₁—未损伤管的吸光度；A₂—加入多糖的吸光度。结果见表 4。

表 4 猪牙皂多糖对羟自由基 (·OH) 的清除

多糖 /mg · mL ⁻¹	1	2	3	平均	· OH 的清除率 =
					1 - $\frac{A_2 - A_1}{A_0 - A_1}$ × 100%
未损伤管	0.253	0.248	0.301	0.267	
Q(损伤管)	0.104	0.105	0.109	0.106	0
0.5	0.13	0.119	0.121	0.123	10.56
1.0	0.157	0.158	0.162	0.159	32.92
1.5	0.179	0.181	0.176	0.179	45.34
2.0	0.196	0.208	0.204	0.203	60.25
2.5	0.219	0.21	0.218	0.216	68.32
3.0	0.219	0.23	0.221	0.223	72.67

由表 4 可知，猪牙皂多糖对羟自由基 (·OH) 具有明显的清除作用，CC₅₀ = 1.7408 mg/mL。

[参考文献]

- [1] 高峰贞, 夏玉凤, 王强, 等. 猪牙皂的化合成分和药理活性研究进展 [J]. 中国野生植物资源, 2008, 27 (1): 1-4.
- [2] 丁诸俊, 许娜, 风先哲, 等. 药百合多糖的提取工艺研究 [J]. 中国林副特产, 2009, (1): 15-17.
- [3] 高英春, 陈钧. 山药粗多糖脱蛋白的方法对比研究 [J]. 2009, 34 (6): 71-74.
- [4] 蔡凌云, 黎云祥, 陈蕉, 等. 白簕多糖的提取工艺和含量比较 [J]. 光谱实验室, 2009, (2): 251-257.
- [5] GB/T5009.5 食品中蛋白质的测定 [S].
- [6] 张泽庆, 田应娟, 张静. 防风多糖的抗氧化活性研究 [J]. 中药材, 2008, 31 (2): 268-272.
- [7] 赵选民. 实验设计方法 [M]. 北京: 科学出版社, 2006.
- [8] 包怡红, 秦蕾, 王戈. 沙棘叶多糖的提取工艺及氧化作用的研究 [J]. 食品工业科技, 2010, 1 (31): 286-290.
- [9] 赵丰丽, 张云鸽, 宁良丹. 红菇多糖的提取分离及其抗氧化活性的研究 [J]. 中国酿造, 2009, 11: 98-101.
- [10] 白伟芳, 崔波. 玫瑰花多糖提取及抗氧化活性研究 [J]. 提取与活性, 2009, 6 (25): 83-86.

(编辑: 迟越)

Study on the Extraction and Anti-oxidant Activity of Polysaccharide from *Fructus Gleditsiae abnormalis* Pericarp

ZHAO Sheng-lan, CHEN Jin-wei, LIU Fang, LUO Li-mei, LI Shi-qi, YU Shi-ji
(Yunnan University of TCM, Kunming Yunnan 650500)

[ABSTRACT] Objective : Study on the extraction technology and anti-oxidant activity of *Pericarp* Polysaccharide from *Fructus Gleditsiae abnormalis*. Method : Single factor and orthogonal tests were applied to optimize the extraction conditions of polysaccharide from *Fructus Gleditsiae abnormalis* pericarp, including the ratio of raw materials to solvent, temperature, time. Anti-oxidation was detected with *pyrogallol autoxidation* and Fenton reaction. Result : The optimum extraction conditions were the ratio of raw materials to solvant 1:25 (w/v), 90℃ for 60 minutes. Anti-oxidation tests show that the polysaccharides concentration required to clear 50% O²⁻ is 0.9 μg/ml and the concentration required to clear 50% ·OH is 1.74 mg/ml. Conclusion : Pericarp polysaccharides from *Gleditsiae abnormalis* appear strong anti-oxidation.

[KEY WORDS] *Fructus Gleditsiae abnormalis*; polysaccharide; single factor experiment; orthogonal experiment; anti-oxidation